



سنجش از دور

و

GIS ایران



سال اول، شماره اول، بهار ۱۳۸۸ ایران  
Vol.1, No.1, Spring 2009  
سنجش از دور و GIS ایران  
Iranian Remote Sensing & GIS  
۹۹-۱۱۴

## ارائه روشی برای طبقه‌بندی داده‌های ابرطیفی AVIRIS، با استفاده از استخراج ویژگی و ترکیب طبقه‌بندی کننده‌ها

مجید رحیمزادگان<sup>۱</sup>، محمدرضا مباشری<sup>۲\*</sup>، محمدجواد ولدان‌رچ<sup>۳</sup>، یاسر مقصودی مهرانی<sup>۳</sup>

۱- دانشجوی دکترای مهندسی سنجش از دور، دانشگاه صنعتی خواجه نصیرالدین طوسی

۲- دانشیار گروه مهندسی سنجش از دور، دانشکده مهندسی نقشه‌برداری، دانشگاه صنعتی خواجه نصیرالدین طوسی

۳- دانشجوی دکتری سنجش از دور، دانشگاه Calgary کانادا

تاریخ پذیرش مقاله: ۸۸/۱۱/۵

تاریخ دریافت مقاله: ۸۸/۴/۲

### چکیده

یکی از پرکاربردترین روش‌های طبقه‌بندی نظارت‌شده، روش بیشترین احتمال است که در آن، به منظور طبقه‌بندی از پارامترهای آماری مانند ماتریس واریانس کوواریانس استفاده می‌شود. در تصاویر ماهواره‌ای ابرطیفی، به علت محدودیت نمونه‌های آموزشی و ابعاد بالای طیفی (زیاد بودن تعداد باندها)، احتمال یکتا شدن ماتریس‌های برآورد شده و یا کاهش دقت طبقه‌بندی وجود دارد. به منظور حل این مشکل از روش‌های مختلفی همچون کاهش تعداد ویژگی‌ها (کاهش تعداد باندهای استفاده شده) و یا ترکیب طبقه‌بندی کننده‌ها استفاده می‌گردد. در این پژوهش از تلفیق این دو روش استفاده شده است، بدین ترتیب که برای کاهش ابعاد، روش استخراج ویژگی غیرپارامتریک وزن دار به علت مزایای متعدد آن به کار رفته است؛ و در مورد ترکیب طبقه‌بندی کننده‌ها برای ایجاد ترکیبات مناسب از طبقه‌بندی کننده‌ها، از روش تغییر ویژگی‌هایی ورودی و روش استخراج ویژگی بر مبنای کلاس استفاده شده است. همچنین در ترکیب خروجی طبقه‌بندی کننده‌ها، از روش‌های سطح اندازه‌گیری استفاده شده است. تصویر ابرطیفی مورد استفاده در این پژوهش، تصویر سنجنده AVIRIS مربوط به منطقه‌ای جنگلی / کشاورزی در شمال ایالت ایندیانا در امریکاست. پس از پیاده‌سازی روش استخراج ویژگی غیرپارامتریک وزن دار، دقت طبقه‌بندی کلی ۸۵/۶۷ درصد حاصل گردید. در ترکیب طبقه‌بندی کننده‌ها، دقت طبقه‌بندی کلی ۸۹/۲۶ درصد و در روش پیشنهادی دقت طبقه‌بندی کلی ۸۹/۳۴ درصد به دست آمد، که در قیاس با دو روش تشکیل‌دهنده آن، دقت طبقه‌بندی بهبود یافته است. به رغم کم بودن میزان بهبود دقت، به علت کاهش پیچیدگی محاسبات و همچنین امکان انجام محاسبات موازی، روش پیشنهادی در این پژوهش مناسب‌تر به نظر می‌رسد.

کلیدواژه‌ها: ابرطیفی، طبقه‌بندی، استخراج ویژگی، ترکیب طبقه‌بندی کننده‌ها، کلاس.

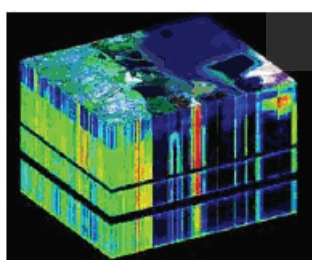
\* نویسنده مکاتبه‌کننده: تهران، خیابان ولی‌عصر، تقاطع میرداماد، دانشگاه صنعتی خواجه نصیرالدین طوسی، دانشکده زیست‌پژوهی و ژئوتکنیک، تلفن: ۰۹۱۲۱۲۲۶۶۳۰  
Email: mobasher@kntu.ac.ir

**۱- مقدمه**

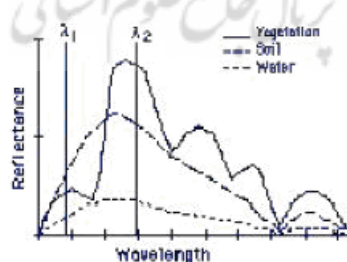
ماهواره‌ای ابرطیفی وجود دارد که از مهم‌ترین و پراستفاده‌ترین آنها روش بیشترین احتمال<sup>۳</sup> است. روش بیشترین احتمال به کمک نمونه‌های آموزشی، پارامترهایی آماری (ماتریس واریانس کواویریانس، میانگین و نظایر اینها) را برآورد می‌کند و به طبقه‌بندی این تصاویر می‌پردازد. به علت محدودیت نمونه‌های آموزشی و همچنین ابعاد بالای این تصاویر، برآورد نمونه‌های آموزشی با مشکل مواجه خواهد شد (Li et al., 2007)، و به همین خاطر بایستی به روشهای تعداد ویژگی‌ها را کاهش داد.

**۱-۱- طرح مسئله**

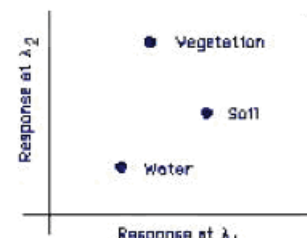
در تصاویر مربوط به سنجش از دور، با بالارفتن تعداد باندها، ممکن است دو اثر رخ دهد. نخست، با افزایش تعداد باندها، جدایی بین کلاس‌های مختلف افزایش می‌یابد، که این خود اثری مثبت برای تشخیص کلاس‌های مختلف است (شکل ۲، چپ). لیکن همزمان با این اثر با افزایش ابعاد، دقت برآورد پارامترهای آماری کلاس‌ها کاهش می‌یابد (شکل ۲، وسط). درواقع مجموع این دو اثر به این ترتیب عمل می‌کند که با افزایش ابعاد تا یک تعداد ثابت باند، دقت افزایش پیدا می‌کند؛ اما پس از این تعداد باند، دقت طبقه‌بندی شروع به کاهش می‌کند، که مجموع این دو اثر در (شکل ۲ راست) آمده است.



(الف) فضای تصویر



(ب) فضای طیفی



(ج) فضای ویژگی

سنجدنه‌های ابرطیفی<sup>۱</sup>، سنجدنه‌هایی هستند که قابلیت جمع‌آوری داده را در تعداد باندهای طیفی بسیار زیاد در خود دارند (بیش از ۲۰۰ باند طیفی) و بنابراین برای تجزیه و تحلیل این داده‌ها به روش‌های خاصی نیاز است. برای نمایش تصاویر ابرطیفی می‌توان از فضاهای مختلف استفاده کرد. این فضاهایی، که در شکل ۱ نشان داده شده، شامل اینهاست: (۱) فضای تصویری؛ (۲) فضای طیفی؛ و (۳) فضای ویژگی (Landgrebe, 1999).

در سنجدنه‌های ابرطیفی، فضای تصویر را می‌توان به صورت مکعبی در نظر گرفت که دو بعد اول پیکسل‌های تصویر است؛ و بعد سوم، باندهای طیفی مختلف. فضای طیفی، پاسخ طیفی کلاس‌های مختلف را به صورت تابعی از طول موج بیان می‌کند. فضای آخر که در این مقاله مورد نظر است، فضای ویژگی است. در این فضایی، باندهای مختلف در واقع محورهای مختصات‌اند و هر پیکسل با توجه به پاسخ طیفی خود، به صورت یک نقطه نمایش داده می‌شود.

یکی از معمول ترین روش‌های استخراج اطلاعات از تصاویر ماهواره‌ای ابرطیفی، طبقه‌بندی است که مقادیر پیکسل‌ها در تصویر اولیه را با کلاس‌ها جایگزین می‌کند و نقشه‌ای موضوعی بدین ترتیب به دست می‌آید. روش‌های مختلفی برای طبقه‌بندی تصاویر

شکل ۱. فضاهای مختلف نمایش داده‌های ابرطیفی (برگرفته از Landgrebe, 2003)

- 
1. Hyperspectrol
  2. Maximum Likelihood

استخراج ویژگی، به علت اینکه از تمامی اطلاعات موجود در باندها استفاده می‌شود، امکان از دست رفتن اطلاعات کمتر است. در این مقاله روش‌های استخراج ویژگی مدنظر هستند، زیرا اطلاعات کمتری را در قیاس با روش‌های انتخاب ویژگی از دست می‌دهند.

در بازهٔ فعالیت‌های انجام شده در زمینه استخراج ویژگی، روش‌های مختلفی وجود دارد. این روش‌ها هر یک نقاط ضعف روش‌های قبلی را پوشش می‌دهند و نقاط قوت آنها را در نظر می‌گیرند.

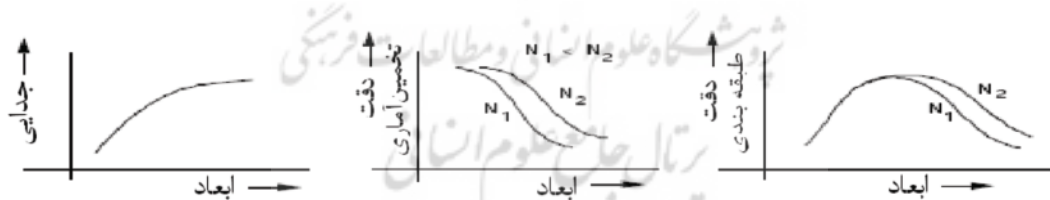
در این قسمت روش‌های مختلف استخراج ویژگی، چون استخراج ویژگی به روش آنالیز تفکیک<sup>۱</sup> (Loog et al., ۱۹۸۴; Fukunaga, ۱۹۹۰; Campbell, ۱۹۸۴) aPAC-LDR (Lee and Landgrebe, ۱۹۹۳)، استخراج ویژگی محدوده تصمیم‌گیری<sup>۲</sup> (Kuo and Landgrebe, ۲۰۰۱) و استخراج ویژگی غیرپارامتریک وزن دار<sup>۳</sup> (Landgrebe, ۲۰۰۱) مطرح است.

روشی که در این مقاله مدنظر است، روش استخراج ویژگی غیرپارامتریک وزن دار است که به نوعی نقاط ضعف روش‌های قبلی را پوشش می‌دهد و نقاط قوت آنها را در خود دارد.

مجموع این دو اثر مثبت و منفی، پدیده‌ای است که با نام اثر Hughes شناخته می‌شود (Hughes, 1968; Landgrebe, 2003). به علت مشکلات ناشی از پدیده Hughes، معمولاً به روشی برای کاهش تعداد ویژگی‌ها نیاز است.

## ۲- روش‌های استخراج ویژگی

همان‌طور که ذکر شد، به علت مشکلات عملی‌ای که ابعاد بالای تصاویر ابرطیفی ایجاد می‌کنند، همیشه به روشی برای کاستن ابعاد این تصاویر نیاز است. به‌طور کلی برای کاستن ابعاد تصاویر ابرطیفی دو روش وجود دارد: (۱) انتخاب ویژگی؛ و (۲) استخراج ویژگی. روش اول از میان تمام ویژگی‌ها، آنها را انتخاب می‌کند که بیشترین اطلاعات و کمترین نویز را داشته باشند؛ ولی روش دوم اطلاعات تمامی باندها را مورد استفاده قرار می‌دهد و فضای ویژگی را به فضایی نگاشت می‌کند که بیشترین اطلاعات موجود در فضای ویژگی‌های اول فضای جدید منتقل شود. روش انتخاب ویژگی، به علت اینکه تعدادی از باندها را حذف می‌کند، ممکن است مقداری از اطلاعات را از دست بدهد؛ اما در روش



شکل ۲. تأثیرات ایجاد شده به علت پدیده Hughes (چپ: افزایش جدایی بین کلاس‌ها با افزایش ابعاد، وسط: کاهش دقت برآورد پارامترهای آماری با افزایش ابعاد با تعدادی نمونه آموزشی ثابت، راست: ترکیب دو اثر متضاد قبلی بر روی دقت طبقه‌بندی)  
(Landgrebe, 2003)

- 1. Discriminant Analysis Feature Extraction
- 2. The approximated Pairwise Accuracy Criterion-Linear Dimension Reduction
- 3. Decision Boundary Feature Extraction
- 4. Nonparametric Weighted Feature Extracton

مختلفی در مورد داده‌های جدید ایجاد کنند. روش‌های بسیاری برای ساخت ترکیبات طبقه‌بندی‌کننده‌ها پیشنهاد شده است. به‌طور کلی سه روش برای ایجاد ترکیب‌های طبقه‌بندی‌کننده‌ها وجود دارد: تغییر نمونه‌های آموزشی، تغییر کلاس‌های خروجی و تغییر ویژگی‌های ورودی.

در روش تغییر نمونه‌های آموزشی برای ایجاد ترکیبات، الگوریتم آموزشی چندین بار - و هر بار با زیرمجموعه‌های مختلف از نمونه‌های آموزشی - انجام Bagging می‌شود این خود دارای سه روش است: Chan (Breiman, 1996)، تجزیه داده‌های آموزشی (Freund and Bossting and Stolfo, 1995) (Schapire, 1995; Schapire, 1990).

Dietterich and Bakiri در سال ۱۹۹۵ مطرح کردند، برای ساختن ترکیبی خوب از طبقه‌بندی‌کننده‌ها، مقادیر خروجی کلاس‌ها را که به الگوریتم آموزش داده می‌شود، تغییر می‌دهند. برای نمونه، می‌توان مسئله چندکلاسی را به مسئله‌ای دو کلاسی تبدیل کرد.

در روش عمومی سوم که Benediktsson و دیگران (2008) و Dietterich (2000) مورد بررسی قرار داده‌اند، از تغییر بر روی ویژگی‌های موجود برای الگوریتم آموزش به منظور ایجاد چند طبقه‌بندی‌کننده استفاده می‌شود. این روش زمانی مؤثر می‌افتد که تعداد ویژگی‌های ورودی بسیار زیاد باشد. برای این مورد می‌توان دو روش کلی نام برد: انتخاب ویژگی، و استخراج ویژگی. هر دو روش، چندین سری ویژگی با استفاده از ویژگی‌های اصلی ایجاد می‌کنند و سپس هر یک از طبقه‌بندی‌کننده‌ها بر روی این سری‌ها آموزش می‌یابند. در این مقاله روش استخراج ویژگی، برای ایجاد طبقه‌بندی‌کننده‌ها مورد بررسی قرار گرفته است.

**۳-۲-۳- روش‌های ترکیب نتایج طبقه‌بندی‌کننده‌ها**  
پژوهشگرانی چون (XU., 1992) و دیگران نشان دادند روش‌های ترکیب طبقه‌بندی‌کننده‌ها می‌تواند با توجه

**۲-۱- مشکلات روش‌های استخراج ویژگی**  
در روش‌های استخراج ویژگی معمولاً از بهینه کردن یک معیار - مانند معیار Fisher - استفاده می‌شود که در آن از ماکزیمم کردن ماتریس پراکنده‌گی بین کلاسی و مینیمم کردن ماتریس پراکنده‌گی داخلی کلاسی استفاده می‌شود. چون در این حالت، پراکنده‌گی تمام کلاس‌ها مورد استفاده قرار می‌گیرد، ممکن است جدایی تمامی کلاس‌ها به خوبی مدل نشود. بنابراین می‌توان این معیارها را برای تک‌تک کلاس‌ها برآورد کرد و به استخراج ویژگی‌هایی برای هر کدام پرداخت، و در نهایت با کمک هر سری ویژگی استخراج شده، طبقه‌بندی‌کننده را نیز تعریف کرد و نهایتاً با کمک روش‌های ترکیب طبقه‌بندی‌کننده‌ها، به ترکیب کردن خروجی این طبقه‌بندی‌کننده‌ها با یکدیگر پرداخت.

### ۳- روش‌های موجود در زمینه ترکیب طبقه‌بندی‌کننده‌ها

یکی از روش‌هایی که می‌تواند مشکلات پدید آمده به علت ابعاد بالای تصاویر ابرطیفی و همچنین کافی نبودن تعداد نمونه‌های آموزشی را مرتفع سازد، استفاده از ترکیب طبقه‌بندی‌کننده‌های است. در این روش با ایجاد طبقه‌بندی‌کننده‌های مختلف و طبقه‌بندی تصاویر ابرطیفی به وسیله هر کدام از آنها و نهایتاً ترکیب نتایج به دست آمده از هر یک از طبقه‌بندی‌کننده‌ها، می‌توان به دقت طبقه‌بندی بالاتری در قیاس با هر یک از طبقه‌بندی‌کننده‌ها دست یافت (Xu et al., 1992).

**۳-۱- روش‌های ساخت ترکیبات طبقه‌بندی‌کننده‌ها**  
در ترکیب طبقه‌بندی‌کننده‌ها، هدف ساخت طبقه‌بندی‌کننده‌هایی است که دارای دو شرط تنوع و صحبت باشند (Hansen and Salamon, 1990). طبقه‌بندی‌کننده صحیح، آنی است که دارای دقتی بالاتر از ۵۰ درصد باشد؛ و یا به عبارت دیگر، دقت آن از حدس تصادفی بیشتر باشد. همچنین دو طبقه‌بندی‌کننده، هنگامی متنوع‌اند که خطاهای

### ۳-۳- مشکلات روش‌های ترکیب نتایج طبقه‌بندی کننده‌ها

در تمامی این روش‌ها می‌توان در اکثر موارد با ترکیب نتایج طبقه‌بندی کننده‌ها، به دقت بیشتری نسبت به هر یک از طبقه‌بندی کننده‌های پایه دست یافت. تمامی روش‌هایی که تاکنون پیاده‌سازی شده‌اند، در حالت تغییر ویژگی‌های ورودی، از انتخاب ویژگی به همراه ترکیب طبقه‌بندی کننده‌ها استفاده کرده‌اند. اما در تصاویر ابرطیفی، روش استخراج ویژگی، به علت اینکه از اطلاعات تمامی باندها استفاده می‌کند و هیچ اطلاعاتی را در مورد جدایی بین کلاس‌ها از دست نمی‌دهد، به دقت بالاتری در انتخاب ویژگی دست می‌یابد. بنابراین با در نظر گرفتن استخراج ویژگی به همراه ترکیب طبقه‌بندی کننده‌ها می‌توان به دقت بالاتری در قیاس با روش‌های قبلی دست یافت.

### ۴- نظریه روش پیاده‌سازی شده

در این مقاله، هدف ایجاد طبقه‌بندی کننده‌های مختلف با استفاده از استخراج ویژگی بر مبنای کلاس و ترکیب نتایج این طبقه‌بندی کننده‌ها، به منظور دستیابی به طبقه‌بندی نهایی است. روش استخراج ویژگی منتخب، روش استخراج ویژگی غیرپارامتریک وزن دار است که در این مقاله برای ایجاد طبقه‌بندی کننده‌های مختلف، از استخراج ویژگی غیرپارامتریک وزن دار بر مبنای کلاس استفاده خواهد شد. روش در نظر گرفته شده برای ترکیب نتایج طبقه‌بندی کننده‌ها در این مقاله، روش ذکر شده به وسیله Mehrani و Maghsoudi (2006) است، که به نوعی از روش‌های سطح اندازه‌گیری استفاده می‌کند.

به نوع اطلاعات تولیدشده به وسیله هر یک از طبقه‌بندی کننده‌ها، دسته‌بندی شوند. این روش‌ها می‌توانند با توجه به خروجی‌های طبقه‌بندی کننده‌ها، به سه دسته تقسیم شوند:

روش‌های سطح مفهوم<sup>۱</sup> که در این سطح، خروجی هر طبقه‌بندی کننده، تنها یک برچسب کلاس برای هر پیکسل ورودی است. این روش خود به سه روش انجام شدنی است: رأی‌گیری اکثربیت (Lam and Suen, 1997)، روش رأی‌گیری اکثربیت وزن دار (Lam and Suen, 1995) و روش‌های مبتنی بر تئوری بیز (and Suen, 1997).

در روش‌های سطح رتبه<sup>۲</sup> (Ho et al., 1996)، خروجی هر طبقه‌بندی کننده، فهرستی از کلاس‌های ممکن با رتبه‌های شان برای هر پیکسل ورودی است. در این روش کلاس برنده، کلاسی است که بیشترین رتبه را داشته باشد.

روش‌های سطح اندازه‌گیری<sup>۳</sup> (Kittler, 1996a) و طبقه‌بندی کننده، لیستی از سطوح اطمینان مربوط به کلاس‌ها به ازای هر پیکسل ورودی است. در این روش هر طبقه‌بندی کننده برای هر کلاس، یک سطح اطمینان در نظر می‌گیرد، که نهایتاً این سطوح اطمینان با هم ترکیب می‌گردند و نتیجه ترکیب نهایی حاصل می‌شود. برای ترکیب در سطوح اطمینان روش‌های مختلفی وجود دارد، که مهم‌ترین آنها روش‌های میانگین ساده، ضرب، بیشینه، کمینه، میانه، میانگین وزن دار و روش پشت‌های<sup>۴</sup> است. روشی که در این مقاله استفاده می‌شود، روش میانگین ساده است. این روش یکی از ساده‌ترین قوانین ترکیب در سطح اندازه‌گیری طبقه‌بندی کننده‌های مربوط به یک کلاس بنا نهاده شده است.

- 
1. Abstract-level
  2. Rank-leve
  3. Measurement-level
  4. Stacked

برای جلوگیری از مشکل یکتایی ضرب خارجی  
فاصله‌های بین کلاسی و داخل کلاسی،  $S_w$  با رابطه  
(۷) جایگزین می‌گردد:

$$S_w = 0/5S_w + 0/5\text{diag}(S_w) \quad \text{رابطه (7)}$$

در روش مورد نظر در این مقاله، از استخراج ویژگی بر مبنای کلاس استفاده شده است، تا بتوان به تعداد کلاس‌ها طبقه‌بندی کننده به دست آورده و با ترکیب نتایج این طبقه‌بندی کننده‌ها به تصویر طبقه‌بندی شده نهایی دست یافت. برای انجام استخراج ویژگی بر مبنای کلاس، برای هر کلاس  $m$ ، ماتریس‌های پراکندگی بین کلاسی و داخل کلاسی به وسیله روابط (۸) و (۹) به دست می‌آیند تا وارد مرحله ترکیب طبقه‌بندی کننده‌ها شوند.

رابطه (8)

$$\begin{aligned} S_w &= p_m \sum_{k=1}^{N_m} \lambda_k^{(m,j)} (x_k^{(m)} - M_m(x_k^{(m)})) \\ &\quad (x_k^{(m)} - M_m(x_k^{(m)}))^T \\ S_b &= \frac{p_m}{N-1} \sum_{j=1}^N \sum_{k=1, k \neq m}^{N_m} \lambda_k^{(m,j)} (x_k^{(m)} - M_j(x_k^{(m)})) \\ &\quad (x_k^{(m)} - M_j(x_k^{(m)}))^T \end{aligned} \quad \text{رابطه (9)}$$

+  $\sum_{i=1}^N \frac{p_i}{N-1} \sum_{k=1}^{N_i} \lambda_k^{(i,m)} (x_k^{(i)} - M_m(x_k^{(i)}))$   
 $(x_k^{(i)} - M_m(x_k^{(i)}))^T$

حال بایستی به روشنی نتایج این طبقه‌بندی کننده‌ها را با هم ترکیب کرد. روش ترکیب منتخب، به نوعی از روش‌های سطح اندازه‌گیری استفاده می‌کند که در بخش بعد به تفصیل شرح داده می‌شود.

## ۲-۴- ترکیب طبقه‌بندی کننده‌های حاصل از استخراج ویژگی بر مبنای کلاس

در روش منتخب این مقاله، بعد از استخراج ویژگی بر مبنای کلاس، روی هر سری از ویژگی‌های استخراج شده بر مبنای کلاس که به تعداد کلاس‌ها خواهد بود،

## ۴-۱- استخراج ویژگی NW بر مبنای کلاس

روش NWFE برای اولین بار به وسیله Kuo and Landgrebe (2001) مطرح شد. ایده اصلی این روش، در نظر گرفتن وزن‌های متفاوت برای هر نمونه به منظور محاسبه «میانگین محلی» و تعریف ماتریس پراکندگی بین کلاسی و داخل کلاسی غیرپارامتریک جدید برای استخراج ویژگی است (Kuo and Landgrebe, 2001, 2004). در NWFE، ماتریس پراکندگی بین کلاسی به صورت رابطه (۱) تعریف می‌شود.

رابطه (۱)

$$S_b = \sum_{i=1}^{nc} \frac{p_i}{nc-1} \sum_{j=1}^{nc} \sum_{k=1, k \neq i}^{n_i} \lambda_k^{(i,j)} (x_k^{(i)} - M_j(x_k^{(i)}))$$

$$\times (x_k^{(i)} - M_j(x_k^{(i)}))^T$$

که در آن  $x_k^{(i)}$  نمونه  $k$  ام کلاس  $I$  است. وزن ماتریس پراکندگی است و به صورت رابطه (۲) می‌شود.

$$\lambda_k^{(i,j)} = \frac{\text{dist}(x_k^{(i)}, M_j(x_k^{(i)}))^{-1}}{\sum_{l=1}^{n_i} \text{dist}(x_l^{(i)}, M_j(x_l^{(i)}))^{-1}} \quad \text{رابطه (2)}$$

در حالی که  $\text{dist}(a,b)$  فاصله از  $a$  تا  $b$  است و  $x_k^{(i)}$  میانگین محلی  $k$  در کلاس  $j$  است که به صورت روابط (۳) و (۴) است.

$$M_j(x_k^{(i)}) = \sum_{l=1}^{n_i} W_l^{(i,j)} x_l^{(i)} x_l^{(j)} \quad \text{رابطه (3)}$$

$$W_l^{(i,j)} = \frac{\text{dist}(x_k^{(i)}, x_l^{(j)})^{-1}}{\sum_{l=1}^{n_i} \text{dist}(x_k^{(i)}, x_l^{(j)})^{-1}} \quad \text{رابطه (4)}$$

ماتریس پراکندگی داخلی کلاسی غیرپارامتریک وزن دار به صورت رابطه (۵) است.

$$S_w = \sum_{i=1}^{nc} p_i \sum_{k=1}^{n_i} \lambda_k^{(i,i)} (x_k^{(i)} - M_i(x_k^{(i)}))$$

$$(x_k^{(i)} - M_i(x_k^{(i)}))^T \quad \text{رابطه (5)}$$

ویژگی‌های استخراجی، با بهینه کردن معیار Fisher تعیین می‌شود، که این معیار به صورت رابطه (۶) است.

$$J_{NWFE} = \text{tr}(\sum_w^{-1} \sum_B) \quad \text{رابطه (6)}$$

در مورد پیکسل مورد نظر اظهار نظر کرده‌اند، استفاده می‌شود. در مورد پیکسل‌هایی که هیچ طبقه‌بندی کننده‌ای در مورد آنها اظهار نظر نکرده است نیز همین حالت وجود دارد، با این تفاوت که در این حالت از تمام طبقه‌بندی کننده‌ها استفاده می‌شود.

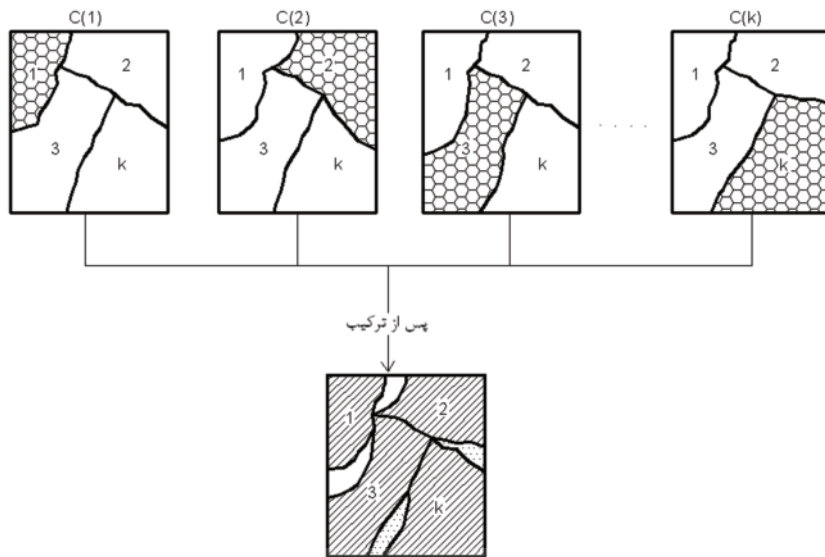
- پیکسل‌هایی دسته دوم که دو یا چند طبقه‌بندی کننده در موردانش اظهار نظر کرده‌اند، از قوانین ترکیب سطح اندازه‌گیری و از روش Mean، برای تضمیم‌گیری در مورد برچسب نهایی پیکسل‌ها استفاده می‌شود. در این حالت هم استفاده از طبقه‌بندی کننده‌ها مانند حالت در نظر گرفتن کلاس با تعداد نمونه آموزشی بیشتر است.

## ۵- پیاده‌سازی

کلیه الگوریتم‌های ارائه شده در این مقاله بر روی تصویر ابرطیفی سنجنده AVIRIS پیاده‌سازی شده‌اند. این تصویر مربوط به یکی از مناطق کشاورزی / جنگلی است، که در ژوئن ۱۹۹۲، به صورت Airborne از ارتفاع ۲۰ کیلومتری، از منطقه‌ای در شمال ایالت ایندیانا گرفته شده است. تصویر موردنظر، تصویری دارای ۱۴۵ پیکسل است که در ۲۲۰ باند طیفی و با قدرت تفکیک مکانی ۲۰ متر و قدرت تفکیک رادیومتریک ۱۰ بیت گرفته شده است. این تصویر در محدوده طیفی ۰/۴-۲/۵ مایکرومتر و با قدرت تفکیک طیفی ۱۰ نانومتر گرفته شده است. داده زمینی مورد استفاده در این مقاله، نقشه پوشش و کاربری زمین شامل ۱۶ کلاس است که در شکل ۴ نشان داده شده، و نام هر کلاس به همراه پیکسل اختصاص داده شده به آنها در جدول ۱ آمده است. این نقشه کاربری در سال ۱۹۹۲ به وسیله کار زمینی تهیه گردیده که حدود ۳۳ درصد آن منطقه جنگلی و ۶۶ درصد آن منطقه‌ای کشاورزی بوده است. از این میان ۹ کلاس که دارای فراوانی بیشتری هستند، انتخاب شده‌اند. تمامی برنامه‌های مربوط به این مقاله به وسیله نرم‌افزار MATLAB 7 نوشته شده است.

یک طبقه‌بندی کننده آموزش دیده و نیز طبقه‌بندی انجام می‌شود. با انجام این مرحله، به تعداد کلاس‌ها تصویر وجود خواهد داشت که همگی نتایج طبقه‌بندی کننده‌ها هستند. حال بایستی این نتایج به روشی با هم ترکیب شوند. در این مقاله از راهبرد زیر برای این ترکیب استفاده می‌شود:

- اگر  $C(1), C(2), \dots, C(k)$  تصاویر طبقه‌بندی شده مربوط به هر یک از طبقه‌بندی کننده‌ها باشند و  $C_f$  تصویر طبقه‌بندی شده نهایی باشد و  $k$  تعداد کلاس‌ها، در مورد پیکسل‌ها در تصویر طبقه‌بندی شده نهایی، ممکن است سه حالت رخ دهد:
  ۱. پیکسل‌هایی که تنها یک طبقه‌بندی کننده در موردانش اظهار نظر کرده است (قسمت‌هایی که در شکل ۳ به صورت هاشور نمایش داده شده‌اند).
  ۲. پیکسل‌هایی که دو یا چند طبقه‌بندی کننده در مورد آنها اظهار نظر کرده‌اند؛ یعنی در تصویر طبقه‌بندی شده نهایی بین دو یا چند کلاس هم پوشانی وجود دارد (قسمت‌هایی که در شکل ۳ به صورت لانه‌زنی بری نمایش داده شده‌اند).
  ۳. قسمت‌هایی که هیچ طبقه‌بندی کننده‌ای در مورد آنها اظهار نظر نکرده است؛ یعنی قسمت‌هایی که در تصویر طبقه‌بندی شده نهایی به صورت مناطق خالی قرار گرفته‌اند (قسمت‌های سفید در شکل ۳). در این مرحله پیکسل‌های دسته دوی به سادگی طبقه‌بندی می‌شوند. برای طبقه‌بندی بقیه پیکسل‌ها روش‌های مختلفی می‌توان پیشنهاد کرد. در این مقاله دو روش مورد بررسی قرار گرفته است:
    - در مورد پیکسل‌های دسته دوم که دو یا چند طبقه‌بندی کننده در موردانش اظهار نظر کرده‌اند، رأی نهایی به طبقه کننده‌ای داده می‌شود که تعداد نمونه‌های آموزشی آن از بقیه طبقه‌بندی کننده‌ها بیشتر باشد. زیرا کلاسی که نمونه آموزشی بیشتری دارد، کلاسی است که دارای فراوانی بیشتری در مقایسه با دیگر کلاس‌هاست و بنابراین احتمال حضور آن از بقیه کلاس‌ها بیشتر است. در این مرحله فقط و فقط از طبقه‌بندی کننده‌هایی که



شکل ۳. نحوه ترکیب در استخراج ویژگی برمبنای کلاس (Maghsoudi Mehrani et al., 2006)



شکل ۴. نقشه پوشش و کاربری زمین منطقه مورد مطالعه از منطقه‌ای به وسعت  $2/9 \times 2/9$  کیلومتر

(<http://dynamo.ecn.purdue.edu/~biehl/multispec/documentation.html>) بازسازی شده از

گرفته و کلیه پردازش‌ها بر روی این ۱۹۵ باند انجام شده است.

به دلیل اینکه بتوان میزان قوت الگوریتم را نشان داد، اکثر نمونه‌های موجود به عنوان آزمایشی در نظر گرفته شد و بقیه به عنوان داده تست انتخاب گردید؛ لذا در این مقاله ۳۰ درصد نمونه‌ها به عنوان نمونه آموزشی

به علت همبستگی بالا بین باندهای تصاویر ابرطیفی و همچنین وجود برخی از باندهای جذبی آب که باعث به وجود آمدن باندهای نویزی در این تصاویر می‌شود، معمولاً از برخی از باندهای  $103 \times 109$ ،  $149 \times 163$  و  $218 \times 220$  به علت نویز بالا حذف شده و ۱۹۵ باند باقیمانده برای طبقه‌بندی مورد استفاده قرار

در این میان، حالتی که بیشترین دقت را به دست می‌دهد، حالت استفاده از ۱۴ ویژگی است، با دقت ۸۵/۶۷ در این تعداد ویژگی، دقت طبقه‌بندی کلاس‌های مختلف، در جدول ۱ آمده است.

جدول ۲. دقت طبقه‌بندی کلاس‌های مختلف در روش NWFE برای ۱۴ ویژگی

ردیف	نام کلاس	دقت طبقه‌بندی
۱	Corn-notill	۹۰/۶۵
۲	Corn-min	۷۸/۳۳
۳	Grass/pasture	۹۸/۴۶
۴	Grass/trees	۹۷/۰۲
۵	Hay-windrowed	۹۹/۶۳
۶	Soy-notill	۸۲/۳۸
۷	Soy-mintill	۶۷/۵۴
۸	Soy-clean	۹۲/۴۵
۹	Woods	۹۸/۳۵
Overall accuracy		۸۵/۶۷

همان‌طور که در جدول ۱ ملاحظه می‌شود، هر کلاس در این طبقه‌بندی دقت متفاوتی را نتیجه می‌دهد، که این خود انگیزه‌ای است برای اینکه استخراج ویژگی بر مبنای کلاس انجام گیرد و نتایج به دست آمده از آنها با یکدیگر مقایسه گردد.

## ۲-۵- پیاده‌سازی ترکیب طبقه‌بندی کننده‌ها

در این مقاله برای ایجاد ترکیب از طبقه‌بندی کننده‌ها، ابتدا استخراج ویژگی بر مبنای کلاس انجام گرفت؛ بدین ترتیب که برای ایجاد هر طبقه‌بندی کننده، هر بار به نحوی استخراج ویژگی انجام شده که بیشترین جدایی بین کلاس مورد نظر و بقیه کلاس‌ها ایجاد شود. مرحله بعد که می‌بایست انجام می‌شد، ایجاد ترکیبی از طبقه‌بندی کننده‌ها بود. برای ترکیب طبقه‌بندی کننده‌ها می‌توان از راهبردهای مختلفی استفاده کرد. یکی از این راهبردها بدین نحو عمل می‌کند که ابتدا در

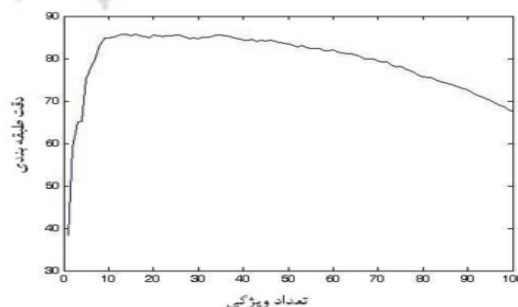
در نظر گرفته شده‌اند و ۷۰ درصد به عنوان نمونه آزمایشی.

## ۱-۵- پیاده‌سازی روش استخراج ویژگی

در این قسمت، استخراج ویژگی و طبقه‌بندی روی تصویر موردنظر انجام شد. با توجه به تعداد ویژگی‌های مختلف استخراج شده، دقت‌های متفاوتی به دست آمده، که نتایج در نمودار شکل ۵ درج گردیده است.

جدول ۱. نام کلاس‌ها به همراه شماره اختصاص داده شده به هر کلاس و تعداد پیکسل هر کلاس

شماره	نام کلاس	تعداد پیکسل
۰	others	۱۰۶۷۰
۱	Alfalfa	۵۴
۲	Corn-notill	۱۴۲۲
۳	Corn-min	۸۳۴
۴	Corn	۲۳۴
۵	Grass/pasture	۴۹۷
۶	Grass/trees	۷۴۷
۷	Grass/pasture-mowed	۲۶
۸	Haywindrowed	۴۸۹
۹	Oats	۲۰
۱۰	Soy-notill	۹۶۸
۱۱	Soy-min till	۲۴۶۸
۱۲	Soy-clean	۶۱۴
۱۳	Wheat	۲۱۲
۱۴	Woods	۱۲۹۴
۱۵	Bldg-grass-trees- drives	۳۸۰
۱۶	Stone-steel towers	۹۵



شکل ۵. دقت طبقه‌بندی کلی نسبت به تعداد ویژگی‌ها در روش NWFE

حاصل نشد. در این حالت بایستی در نظر داشت که در هر کلاس در تعدادی از ویژگی‌های معین بیشترین جدایی را از کلاس‌های دیگر دارد. در جدول ۲ تعداد ویژگی‌های مربوط به طبقه‌بندی‌کننده‌ها، که بیشترین جدایی بین کلاس‌ها را ایجاد می‌کند، آمده است.

بنابراین با در نظر گرفتن تعداد ویژگی‌های استخراجی متفاوت برای هر طبقه‌بندی‌کننده، بایستی افزایش دقت ایجاد شود؛ ولی با در نظر گرفتن تعداد ویژگی‌های متفاوت برای کلاس‌ها و افزایش بیش از حد تعداد ویژگی‌های برخی از کلاس‌ها، احتمال تعدادی از کلاس‌ها بیش از حد افزایش یافته و به علت بالا رفتن احتمال این کلاس‌ها، شناس بقیه برای انتخاب شدن کم می‌شود و در نتیجه دقت کلی کاهش می‌یابد. برای حل این مشکل نیز می‌توان برای کلاس‌هایی که تعداد ویژگی‌های بهینه آنها بسیار زیاد است، حد بیشینه تعداد ویژگی استخراجی در نظر گرفت. در این مورد خاص، همان‌طور که در جدول ۳ مشاهده می‌شود، تعداد ویژگی استخراجی بیشینه که بیشترین دقت را نتیجه می‌دهد، تعداد ۴۰ ویژگی است.

همان‌طور که ملاحظه می‌شود، دقت طبقه‌بندی در حالت بیشینه، به  $86/49$  رسید که نسبت به حالت استخراج ویژگی و طبقه‌بندی (با دقت طبقه‌بندی  $85/67$ ) نشان از افزایش دقت دارد.

همچنین دقت طبقه‌بندی هر یک از کلاس‌ها در بهترین حالت با بیشینه دقت، در جدول ۴ آمده است.

مورد هر پیکسل، میزان احتمال نسبت داده شده هر طبقه‌بندی‌کننده به آن پیکسل در مورد کلاس‌های مختلف، به دست می‌آید. در این حالت می‌توان با در نظر گرفتن بشینه آرای یک طبقه‌بندی‌کننده برای کلاس‌های مختلف، به ازای هر طبقه‌بندی‌کننده، یک تصویر به دست آورد. در این حالت برای به دست آوردن تصویر طبقه‌بندی‌شده نهایی از هر کدام از تصاویر طبقه‌بندی‌شده اولیه مربوط به هر طبقه‌بندی‌کننده، پیکسل‌های مربوط به کلاس آن طبقه‌بندی‌کننده (کلاسی که به ازای آن، استخراج ویژگی صورت گرفته است)، در تصویر طبقه‌بندی‌شده نهایی قرار می‌گیرد.

#### ۵-۱-۲- تعلق پیکسل به کلاس با بیشترین تعداد نمونه آموزشی

در این روش در مورد پیکسل‌هایی که دو یا چند طبقه‌بندی‌کننده در مورد آنها اظهارنظر کرده بودند و همچنین در مورد پیکسل‌هایی که هیچ طبقه‌بندی‌کننده‌ای در مورد آنها اظهارنظر نکرده بود، کلاسی به عنوان کلاس برنده انتخاب شد که بیشترین تعداد نمونه‌های آموزشی را داشت.

در این روش ترکیب طبقه‌بندی‌کننده‌ها، ابتدا تمامی کلاس‌ها با تعداد ویژگی‌های استخراجی مساوی با روش ذکر شده، با یکدیگر ترکیب شدند که نتایج به دست آمده، دقت طبقه‌بندی کلی  $85/60.67$  را نشان داد. برخلاف انتظار، دقت طبقه‌بندی در مقایسه با حالت استخراج ویژگی بدون ترکیب طبقه‌بندی‌کننده،

جدول ۳. تعداد ویژگی بهینه برای به دست آوردن بیشترین دقت برای هر کلاس در حالت کلاس با نمونه آموزشی بیشتر به عنوان کلاس برنده

تعداد ویژگی	طبقه‌بندی‌کننده
۱۴	۹
۱۳	۱۰
۹	۴
۷	۵
۸	۶
۱۲۴	۷
۸۶	۹

جدول ۴. میزان دقت طبقه‌بندی کلی برای تعداد ویژگی‌های بیشینه مختلف در حالت کلاس با نمونه آموزشی بیشتر به عنوان کلاس برنده

دقت (درصد)	تعداد ویژگی بیشینه	ویژگی						
۸۶/۴۷	۳۰	۴۰	۴۵	۴۵	۴۰	۴۵	۴۰	۵۰
۸۶/۴۱	۳۵	۸۶/۴۱	۸۶/۴۹	۸۶/۴۹	۸۶/۴۹	۸۶/۴۱	۸۶/۴۹	۸۶/۱۹

جدول ۵. دقت طبقه‌بندی کلاس‌های مختلف در حالت کلاس با نمونه آموزشی بیشتر به عنوان کلاس برنده، با در نظر گرفتن تعداد ویژگی بیشینه

ردیف	نام کلاس	دقت طبقه‌بندی (درصد)
۱	Corn-notill	۸۸/۳۸
۲	Corn-min	۷۲/۷۶
۳	Grass/pasture	۹۷/۳۱
۴	Grass/trees	۹۵/۸۳
۵	Hay-windrowed	۹۹/۶۳
۶	Soy-notill	۶۸/۹۴
۷	Soy-mintill	۸۳/۷۲
۸	Soy-clean	۸۳/۰۲
۹	Woods	۹۸/۱۱
۱۰	Overall accuracy	۸۶/۴۹

کلاس‌ها به اجرا درآمد، مشاهده شد که دقت برخلاف انتظار دچار افت شده است. این افت دقت به علت افزایش تعداد ویژگی به تعداد بسیار زیاد برای برخی از کلاس‌ها و در نتیجه افزایش احتمالات این کلاس‌ها، احتمالات کلاس‌های دیگر - و به تبع آن، دقت - به میزان بسیار زیادی کاهش می‌باشد. برای حل چنین مشکلی نوعی نرمال‌سازی بین احتمالات انجام شد.

#### ۵-۲-۱- نرمال‌سازی احتمالات به دست آمده از

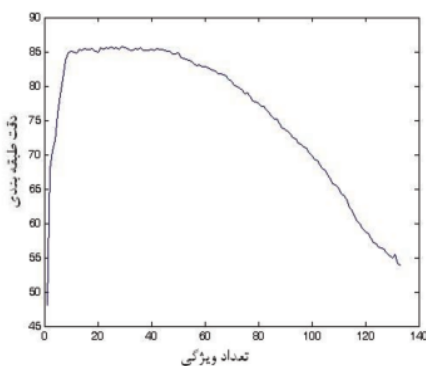
##### طبقه‌بندی به منظور ترکیب

برای حل مشکل همسان نبودن احتمالات مربوط به طبقه‌بندی کننده‌های گوناگون برای کلاس‌های مختلف، به نوعی روی مقادیر احتمالات به دست آمده نرمال‌سازی انجام شد؛ بدین ترتیب که ابتدا احتمالات طبقه‌بندی کننده‌های مختلف نرمال‌سازی شدند؛ یعنی

Mean ۵-۲-۲- تخصیص رأی با استفاده از قانون  
در این حالت، رأی به کلاسی داده شد که میانگین رأی طبقه‌بندی کننده‌های مختلف به آن بیشینه باشد. مانند حالت قبل، ابتدا تمامی کلاس‌ها با تعداد ویژگی‌های مساوی در نظر گرفته شد و ترکیبی صورت گرفت که نتایج مطابق نمودار شکل ۶ بود.

در این مورد هم مشاهده می‌شود دقت در حالتی که تعداد ویژگی‌ها مساوی است، وقتی از ۲۵ ویژگی استفاده شود، بیشینه است (دقت طبقه‌بندی ۸۵/۷۵ درصد)، نشان از پیشرفت خواهد داشت. در این حالت مجدداً برای کلاس‌ها تعداد ویژگی‌های متفاوت در نظر گرفته شد. تعداد ویژگی‌هایی که در این حالت بیشترین جدایی هر طبقه‌بندی کننده نسبت به کلاس‌های دیگر را نتیجه می‌دهد، در جدول ۵ آمده است.

وقتی که برنامه با تعداد ویژگی‌های متفاوت برای



شکل ۶. دقت طبقه‌بندی کلی نسبت به تعداد ویژگی‌های مختلف در حالت کلاس با میانگین آرای بیشتر، به عنوان کلاس برنده

جدول ۶. تعداد ویژگی بهینه برای به دست آوردن بیشترین دقت برای هر کلاس در حالت کلاس با میانگین آرای بیشتر، به عنوان کلاس برنده

تعداد ویژگی	۱۴	۱	۱۳	۳۶	۵	۵	۶	۷	۸	۹
طبقه‌بندی کننده										
همان طور که مشاهده می‌شود، با در نظر گرفتن حداقل ۵۰ ویژگی استخراجی، دقت پیشرفته شد و دقت طبقه‌بندی کلی به ۸۸/۰۱ رسید.										

از بزرگ‌تر شدن احتمالات برخی از کلاس‌ها و در نتیجه کوچک شدن احتمالات کلاس‌های دیگر - و به تبع آن کاهش دقت کلی - حدی نهایی برای تعداد ویژگی‌های استخراجی قرار داده شود، دقت‌های به دست آمده به شکل جدول ۶ است.

همان‌طور که مشاهده می‌شود، با در نظر گرفتن حداقل ۵۰ ویژگی استخراجی، دقت پیشرفته شد و دقت طبقه‌بندی کلی به ۸۸/۰۱ رسید.

**۳-۲-۵- آستانه‌گذاری تعداد ویژگی‌ها و نرمال‌سازی احتمالات و اعمال فیلتر اکثربیت**

روش دیگری که می‌توان پس از انجام نرمال‌سازی بین کلاس‌ها و تصاویر پیاپی‌سازی کرد، استفاده از اعمال نوعی فیلتر اکثربیت است. این روش بدین ترتیب است که در مورد پیکسل‌هایی که دو یا چند طبقه‌بندی کننده در مورد آنها اظهارنظر کرده است، از روش در نظر گرفتن میانگین استفاده شود. درواقع یعنی در مورد کلاس‌هایی که بین آنها اختلاف است، در مورد هر کلاس، میانگین احتمالات طبقه‌بندی کننده‌های مختلف آن کلاس به دست آورده می‌شود و کلاسی که این مقدار در مورد آن بزرگ‌تر باشد، به عنوان کلاس برنده انتخاب خواهد شد. اما در مورد پیکسل‌هایی که هیچ طبقه‌بندی کننده‌ای در مورد آنها اظهارنظر نکرده است، می‌توان از اعمال فیلتر استفاده کرد. این روش بدین ترتیب است که برای

اگر  $P(i, j, k, l)$  احتمال مربوط به هر کلاس هر طبقه‌بندی کننده هر پیکسل باشد؛ و  $\bar{z}$  نشان‌دهنده طبقه‌بندی کننده‌های مختلف و  $k$  مختصات هر پیکسل، و  $1$  مربوط به کلاس‌های مختلف باشد، میانگین  $P'(i, j, k, l) = \frac{P(i, j, k, l) - \text{mean}}{\text{max} - \text{min}}$  طبقه‌بندی کننده برای  $I$ ‌های مختلف محاسبه شد و سپس رابطه ۱۰ روی هر احتمال اعمال گردید:

رابطه (۱۰)

در آن،  $P'(i, j, k, l)$  احتمالات جدید به دست آمده بود. سپس بین پیکسل‌های مختلف نرمال‌سازی انجام شد؛ یعنی این‌بار میانگین (mean)، بیشینه (max) و کمینه (min) احتمالات بین پیکسل‌های مختلف (یعنی در طول  $z$  و  $k$ ) محاسبه شد و در نهایت رابطه (۱۱) اعمال گردید:

رابطه (۱۱)

$P''(i, j, k, l) = \frac{P'(i, j, k, l) - \text{mean}}{\text{max} - \text{min}}$  بدین ترتیب، احتمالات جدیدی به دست آمد که نوعی نرمال‌سازی روی آنها انجام شده بود. در این راهبرد دقت طبقه‌بندی به ۸۷/۲۸ رسید که در مقایسه با حالات قبل نشان از پیشرفته داشت.

**۲-۲-۵- آستانه‌گذاری تعداد ویژگی‌ها و نرمال‌سازی احتمالات**

اگر مانند حالات قبل برای جلوگیری از مشکلات ناشی

جدول ۷. میزان دقت طبقه‌بندی کلی برای تعداد ویژگی‌های بیشینه مختلف در حالت کلاس با میانگین آرای بیشتر، به عنوان کلاس برنده

تعداد ویژگی بیشینه	۳۵ ویژگی	۴۰ ویژگی	۴۵ ویژگی	۵۰ ویژگی	۵۵ ویژگی	۸۷/۸۴
دقت (درصد)	۸۷/۳۸	۸۷/۷۱	۸۷/۸۴	۸۸/۰۱	۸۷/۸۴	۸۷/۸۴

گیرد و سپس نرم‌افزاری انجام شود و نهایتاً نیز فیلتر به کار رود، نتایج ذکر شده در جدول ۸ به دست خواهد آمد.

در این قسمت دقت طبقه‌بندی  $89/3398$  در حالت استفاده از بیشینه ۵۰ ویژگی، با استفاده از پنجره  $11 \times 11$  به دست آمد، که از دقت به دست آمده در تمامی روش‌های قبلی بالاتر است.

#### ۶- خلاصه و نتیجه‌گیری

در این مقاله، هدف استفاده از استخراج ویژگی بر مبنای کلاس به منظور ایجاد چندین طبقه‌بندی کننده و ترکیب نتایج این طبقه‌بندی کننده‌ها و دستیابی به نتایج طبقه‌بندی کلی بهتری در مقایسه با هر یک از روش‌های تشکیل دهنده این روش بوده است. روش‌های استخراج ویژگی و طبقه‌بندی بیشترین احتمال مربوط به منطقه مورد مطالعه این مقاله به وسیله (Kuo and Landgrebe 2001) با  $40$  داده آموزشی و  $6$  داده آزمایشی برای هر کلاس پیاده‌سازی شد که در بهترین حالت برای روش DAFE دقت در

پیکسل‌های موردنظر از پیکسل‌های داخل پنجره‌ای که مرکز آن در پیکسل قرار دارد، به عنوان پیکسل‌های مؤثر در انتخاب استفاده می‌شود. برای جلوگیری از مشکل این نوع فیلتر که در مناطق ذوعارضه و همچنین در مناطق مرزی ممکن است باعث تحریب اطلاعات شود، نوعی آستانه‌گذاری برای کلاس برنده انجام می‌گیرد. درواقع هنگامی کلاسی به عنوان کلاس برنده انتخاب می‌شود که حداقل  $51$  درصد پیکسل‌های پنجره در نظر گرفته شده، به کلاس مورد نظر رأی دهنده. در این حالت، پنجره‌هایی با ابعاد متفاوت در نظر گرفته شد و روی تصاویر طبقه‌بندی انجام گردید که نتایج به دست آمده به شرح جدول ۷ است. با توجه به نتایج در این جدول، دقت در حالت استفاده از پنجره  $13 \times 13$  به بیشینه رسیده است، که افزایشی جدی و عمده در مقایسه با حالت استخراج ویژگی معمولی به شمار می‌آید.

اگر روش ذکر شده، با حالتی که برای تعداد ویژگی‌ها حد بیشینه قائل می‌شد، تلفیق گردد؛ یعنی برای تعداد ویژگی‌های استخراجی یک بیشینه قرار

جدول ۸. دقت طبقه‌بندی در حالت تعداد ویژگی‌های بھینه هر کلاس، با استفاده از کلاس با میانگین آرای بیشتر، به عنوان کلاس برنده، با ابعاد فیلترهای مختلف

دقت طبقه‌بندی (درصد)	بعض ابعاد پنجره
$87/93$	$19 \times 19$
$87/95$	$17 \times 17$
$88/04$	$15 \times 15$
$88/10$	$13 \times 13$
$88/09$	$11 \times 11$
$88/07$	$9 \times 9$
$88/07$	$7 \times 7$
$87/94$	$5 \times 5$
$87/78$	$3 \times 3$

جدول ۹. میزان دقت طبقه‌بندی کلی برای بیشینه تعداد ویژگی‌های مختلف در حالت کلاس با میانگین آرای بیشتر، به عنوان کلاس برنده، با فیلترهای مختلف

تعداد ویژگی بیشینه	بعض ابعاد پنجره انتخابی
۳۵ ویژگی	$9 \times 9$
۴۰ ویژگی	$11 \times 11$
۴۵ ویژگی	$13 \times 13$
۵۰ ویژگی	دقت طبقه‌بندی (درصد)
۵۵ ویژگی	$88/61$
۶۰ ویژگی	$88/57$
۴۰ ویژگی	$88/61$
۴۵ ویژگی	$88/98$
۴۰ ویژگی	$88/00$
۵۰ ویژگی	$89/22$
۵۵ ویژگی	$89/34$
۵۵ ویژگی	$88/91$
۶۰ ویژگی	$88/94$

روش اخیر، می‌تواند نوع تصویر مورد استفاده باشد. در تصویر استفاده شده، کلاس‌ها کاملاً از یکدیگر جدا هستند و میزان تأثیر روشن مطرح شده در یک تصویر با تراکم داده بیشتر روشن‌تر خواهد شد.

- به علاوه، استفاده از روش ترکیب طبقه‌بندی کننده‌ها به همراه انتخاب ویژگی که دارای دقت پذیرفتی و مناسبی است، در مقایسه با روش استخراج ویژگی و ترکیب طبقه‌بندی کننده‌ها، روش زمان‌بری به شمار می‌آید که در آن قابلیت تقسیم محاسبات هم وجود ندارد، در حالی که در روش استخراج ویژگی و ترکیب طبقه‌بندی کننده‌ها علاوه بر سریع‌تر بودن، می‌توان محاسبات مربوط به الگوریتم‌ها را به صورت موازی<sup>۵</sup>، در چندین رایانه اجرا کرد، که این خود سرعت محاسبات را بسیار بالاتر خواهد برد. بنابراین، با توجه به نتایج به دست آمده در این تحقیق، الگوریتم ارائه شده در این مقاله در قیاس با دیگر الگوریتم‌ها، دارای مزایای بیشتری است. با این روش، دقت بالاتری از دیگر روش‌ها (که خود در مقایسه با روش‌های NWFE و ترکیب طبقه‌بندی کننده‌ها دارای دقت کمتری هستند) نیز در طبقه‌بندی تصاویر ماهواره‌ای ابرطیفی به دست خواهد آمد.

## ۷- منابع

Benediktsson, J.A., Garcia, X. C., Waske, B., Fauvel, M., Sveinsson, J.R., Chanussot, J., 2008, **Ensemble Methods for Classification of Hyperspectral Data**, Proceedings 2008 IEEE International Geoscience and Remote Sensing Symposium (IGARSS2008), pp. I-62 – I-65, Boston.

1. Nonparametric Weighted Feature Extraction
2. Maximum Likelihood Estimation
3. Majority Analysis
4. Tree-Structured Markov Random Field
5. Parallel

حدود ۵۸ درصد، برای روش aPAC دقت در حدود ۵۷ درصد و برای استخراج ویژگی غیرپارامتریک وزن دار<sup>۱</sup> (NWFE) دقت حدود ۹۰ درصد به دست آمد.

همچنین در روش پیاده‌سازی شده به وسیله Thoonen و دیگران (2008) از طریق روش تخمین بیشترین احتمال<sup>۲</sup> دقت طبقه‌بندی حدود ۷۴ درصد، با روش تحلیل اکثریت<sup>۳</sup> حدود ۸۱ درصد، و با روش میدانی تصادفی ساختار درختی مارکوف<sup>۴</sup> حدود ۸۲ درصد به دست آمد.

نتایجی که می‌توان از روش مطرح شده به دست آورده، بدین شرح است:

- اگر تصویر مورد استفاده با همین نمونه‌های آزمایشی و نمونه‌های آموزشی به وسیله روش بیشترین احتمال طبقه‌بندی گردد و ویژگی‌های اول در نظر گرفته شود، در بهترین حالت که در نظر گرفتن ۶۵ ویژگی است، دقت طبقه‌بندی کلی ۶۸/۳۰ خواهد بود که نشان می‌دهد، استفاده از روش استخراج ویژگی تا چه حد باعث بهبود دقت شده است.
- با انجام استخراج ویژگی به روش NWFE و انجام ترکیب طبقه‌بندی کننده‌ها، می‌توان دقت طبقه‌بندی را در مقایسه با هر یک از روش‌های دیگر بالاتر برد. این به گونه‌ای بود که در روش استخراج ویژگی و طبقه‌بندی معمولی، دقت طبقه‌بندی کلی در بهترین حالت به ۸۵/۶۷ رسید. همین‌طور، در روش ترکیب طبقه‌بندی کننده‌ها همراه با انتخاب ویژگی، در بهترین حالت که از روش‌های وزن دار برای انتخاب وزن به منظور ترکیب، و الگوریتم ژنتیک برای انتخاب وزن‌ها استفاده شده بود، این دقت به ۸۹/۲۶ رسید (Maghsoudi Mehrani et al., 2006). در حالی که در روش پیاده شده در این مقاله، در بهترین حالت دقت طبقه‌بندی کلی به ۸۹/۳۴ رسید، که از تمامی روش‌های گذشته دارای دقت طبقه‌بندی کلی بیشتری بود. علت نزدیک بودن دقت‌ها در دو

- Breiman, L., 1996, **Bagging Predictors**, Machine Learning, vol. 24, 123-140.
- Campbell, A., 1984, **Canonical Variate Analysis, A General Model Formulation**, Australian J. Statistics, vol. 26, 86-96.
- Chan, P., Stolfo, S., 1995, **A Comparative Evaluation of Voting and Meta-learning on Partitioned Data**, In proceeding of the twelfth International Conference on Machine Learning, 90-98.
- Dietterich, T.G., 2000, **Ensemble Methods in Machine Learning**, in Proc. Multiple Classifier Systems, Lecture Notes in Computer Science, 1-15.
- Dietterich, T.G., Bakiri, G., 1995, **Solving Multiclass Learning Problems via Error-Correcting Output codes**, Journal of Artificial Intelligence Research, Vol. 2, 263-286.
- Freund, Y., Schapire, R.E., 1995, **A Decision-Theoretic Generalization of On-line Learning and an Application to Boosting**, Tech. rep., AT and T Bell Laboratories, Murray Hill, NJ.
- Fukunaga, K., 1990, **Introduction to Statistical Pattern Recognition**, Second Ed., Boston, Academic Press, Boston.
- Hansen, L.K., Salamon, P., 1990, **Neural Network Ensembles**, IEEE Transactions on Pattern Analysis and Machine Intelligence, Vol. 12, 993-1001.
- Ho, T.K., Hull, J.J., Srihari, S.N., 1996, **Decision Combination in Multiple Classifier Systems**, IEEE Transaction, Pattern Analysis and Machine Intelligence, vol. 18(5), 66-75.
- <http://dynamo.ecn.purdue.edu/~biehl/multispec/documentation.html>
- Hughes, G.F., 1968, **On the Mean Accuracy of Statistical Pattern Recognition**, IEEE Trans. Information Theory, vol. 14(1), 55-63.
- Kittler, J., 1996, **Combining Classifiers: a Theoretical Framework**, Pattern Analysis, Appl. 1, 18-27.
- Kittler, J., 1996, **Improving Recognition Rates by Classifier Combination**, In the Fifth Internat, Workshop on Frontiers in Handwriting Recognition, Colchester, UK, 18-27.
- Kuo, B.C., Landgrebe, D.A., 2004, **Nonparametric Weighted Feature Extraction for Classification**, IEEE Transactions on Geoscience and Remote Sensing, vol. 42 No. 5, 1096-1105.
- Kuo, B.C., Landgrebe, D.A., December 2001 **Improved Statistics Estimation and Feature Extraction for Hyperspectral Data Classification**, Ph.D. Thesis and School of Electrical & Computer Engineering Technical Report, Purdue University, West Lafayette.
- Lam, L., Suen, C.Y., 1995, **Optimal Combination of Pattern Classifiers**, IEEE Trans. on Systems, Man, and Cybernetics, Vol. 16, 945-954.

- Lam, L., Suen, C.Y., 1997, **Application of Majority Voting to Pattern Recognition: an Analysis of its Behaviour and Performance**, IEEE Transactions on systems, Man and Cybernet, Vol. 27(5), 553-568.
- Landgrebe, D.A., 1999, **Information Extraction Principles and Methods for Multispectral and Hyperspectral Image Data**, Information Processing for Remote Sensing, World Scientific Publishing Co., Inc., River Edge, NJ, School of Electrical & Computer Engineering, Purdue University, West Lafayette.
- Landgrebe, D.A., 2003, **Signal Theory Methods in Multispectral Remote Sensing**, John Wiley & Sons, Hoboken, N.J.
- Lee, C., Landgrebe, D.A., 1993, **Feature Extraction and Classification Algorithms for High Dimensional Data**, Ph.D. Thesis and School of Electrical Engineering Purdue University Technical Report, West Lafayette, Indiana.
- Li, B., Chi, M., Fan, J., Xue, X., 2007, **Support Cluster Machine**, in Proc. 24th Int. Conf. Mach. Learn., Corvallis, OR, pp. 505–512.
- Maghsoudi Mehrani, Y., 2006, **Using Combination of Classifiers for Classification of Hyperspectral Images**, MSc. Thesis in Remote Sensing, KNTOosi University of Technology.
- Schapire, R.E., 1990, **The Strength of Weak Learnability**, Machine Learning, Vol. 5, 197–227.
- Thoonen, G., De Backer, S., Provoost, S., Kempeneers, P., Scheunders, P., 2008, **Spatial Classification of Hyperspectral Data of Dune Vegetation along the Belgian Coast**, Geoscience and Remote Sensing Symposium, 2008. IGARSS 2008. IEEE International, 483-486.
- Weighted Pairwise Fisher Criteria, 2008, IEEE Trans. Pattern Analysis and Machine Intelligence, Vol. 23, pp. 762-766.